

УДК 543.426: 546.661: 541.49

**Ю. В. Скрипинець, Д. І. Александрова, А. В. Егорова**Физико-химический институт им. А. В. Богатского НАН Украины  
Люстдорфская дорога, 86, Одесса, 65080, Украина**ЛЮМИНЕСЦЕНТНОЕ ОПРЕДЕЛЕНИЕ ДНК С ИСПОЛЬЗОВАНИЕМ  
В КАЧЕСТВЕ ЗОНДА КОМПЛЕКСНОГО СОЕДИНЕНИЯ ТЕРБИЯ  
С ЭНРОФЛОКСАЦИНОМ**

Установлено увеличение интенсивности 4f-люминесценции тербия(III) в его комплексе с энрофлоксацином в присутствии двусpirальной ДНК. В оптимальных условиях интенсивность люминесценции тербия пропорциональна концентрации ДНК в интервале 1,0–1500 нг/мл (предел обнаружения 0,5 нг/мл).

**Ключевые слова:** люминесценция, тербий, энрофлоксцин, ДНК.

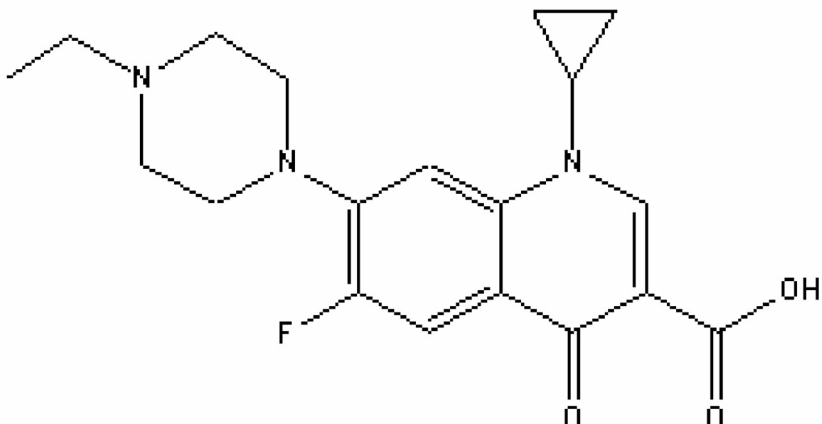
Определение микроколичеств нуклеиновых кислот относится к актуальным задачам биоаналитической химии [1]. Для их решения используют люминесцирующие органические красители: этидий бромид [2], Hoechst 33258 [3], YOYO и TOTO [4, 5]. Наиболее чувствительными из органических красителей являются Oli Green и Pico Green [6, 7]. Необходимо отметить, что большинство органических красителей, применяемых для люминесцентного определения ДНК, относятся к весьма дорогостоящим веществам, а некоторые из них (этидий бромид) обладают канцерогенными свойствами.

Наряду с органическими зондами для люминесцентного определения ДНК применяют металлокомплексы [8, 9], в том числе комплексные соединения лантанидов [10–14], люминесценция которых является результатом эффективной внутримолекулярной передачи энергии с возбужденного триплетного уровня органической части молекулы на возбужденный уровень центрального иона. Для этих комплексов характерно наличие узких полос в спектрах люминесценции, большое стоксовское смещение, длительное время жизни, что позволяет уменьшить влияние биоматрицы.

Известно, что в комплексах Eu(III) и Tb(III) с рядом антибиотиков фторхинолонового ряда, обладающих аффинитетом к молекулам ДНК, реализуется сенсибилизированная 4f-люминесценция лантанидов. Известны работы по люминесцентному определению ДНК с использованием комплексных соединений Tb(III) с норфлоксацином [15], эноксацином [16] и дифлоксацином [17]. Нами в предварительных экспериментах было обнаружено, что комплекс Tb(III) с энрофлоксацином по чувствительности детекции ДНК не уступает лучшей аналитической форме среди лантанидных комплексов (Tb(III) –дифлоксацин). В данной работе показана возможность применения комплексного соединения Tb(III) с энрофлоксацином для высокочувствительного определения ДНК.

Предлагаемый люминесцентный зонд Tb-Энрофлоксцин (Tb-ЭФ) характеризуется высокой кинетической устойчивостью, растворимостью в воде, получением оптимального аналитического сигнала при физиологическом значении pH без применения мицеллярных сред, простотой приготовления.

Цель данной работы состояла в разработке методики люминесцентного определения ДНК с помощью водорастворимого комплексного соединения тербия с энрофлоксацином.



Энрофлоксацин (1-циклогексил-7-(4-этил-1-пиперазинил)-6-фтор-1,4-дигидро-4-оксо-3-хинолонкарбоновой кислоты)

### Материалы и методы

Все растворы готовили с использованием бидистиллированной воды.

Использовали стандартный раствор (0,01 М) хлорида тербия (III), который готовили из оксида высокой чистоты (Sigma, 99,99%) растворением в хлористоводородной кислоте. Концентрацию тербия (III) в полученном растворе стандартизовали комплексонометрически. Исходный раствор энрофлоксацина (1мM) (Riedel-de-Haen, Seelze) готовили растворением точной навески в воде и хранили при температуре 4°C. Рабочие растворы готовили соответствующим разбавлением водой. Буферный раствор (10 мМ) 3-(N-морфолино)пропансульфоновой кислоты (MOPS) (Sigma) готовили растворением 2,093 г MOPS в 900 мл воды с последующим добавлением 0,1 М NaOH до pH 7,4 и разбавлением раствора до 1000 мл водой.

Исходный раствор высокополимерной двуспиральной ДНК тимуса теленка (Sigma) (1,0 мг/мл), готовили растворением точной навески в воде и хранили при температуре 4 °C. Все использованные реагенты были квалификации ч.д.а. или х.ч. Спектры люминесценции и возбуждения, а также времена жизни регистрировали с помощью люминесцентного спектрометра Aminco – Bowman Series 2 (SLM – Aminco, Rochester, NY) с ксеноновой лампой 150W. Для измерения времени жизни возбужденного состояния ионов тербия(III) использовали возбуждение образца импульсами света длительностью до 5 мс, с временным разрешением 10 мкс и 30 повторами. Для вычисления значений времени жизни обсчитывали кривые затухания с использованием программы Microcal Origin 6.0 software (1991–1999, Northampton, USA).

Спектры поглощения регистрировали на спектрофотометре UV-2401 PC (Shimadzu).

Значения pH растворов измеряли на pH-метре Lab 850 (Schott Instruments GmbH, Germany) со стеклянным электродом, калибровку которого проводили с помощью стандартных буферных растворов. Все измерения проводили при комнатной температуре (21–23°C).

## Результаты и их обсуждение

Спектр поглощения энрофлоксацина в водном растворе характеризуется наличием двух интенсивных полос в УФ-области спектра с максимумами при 276 нм ( $\varepsilon = 3,70 \times 10^4 \text{ л} \cdot \text{моль}^{-1} \cdot \text{см}^{-1}$ ) и 316 нм ( $\varepsilon = 1,13 \times 10^4 \text{ л} \cdot \text{моль}^{-1} \cdot \text{см}^{-1}$ ). Триплетный уровень лиганда (T), рассчитанный из спектров фосфоресценции его комплекса с гадолиином при 77°К, составляет 21050 см<sup>-1</sup> и превышает энергию уровня первого возбужденного состояния ионов Tb<sup>3+</sup> ( ${}^5\text{D}_4$ ; 20500 см<sup>-1</sup>), что определяет возможность внутримолекулярной передачи поглощенной энергии лиганда на энергетический уровень лантанода.

Спектры люминесценции (а, б) и возбуждения (в) комплекса тербия с ЭФ в присутствии ДНК представлены на рис. 1.

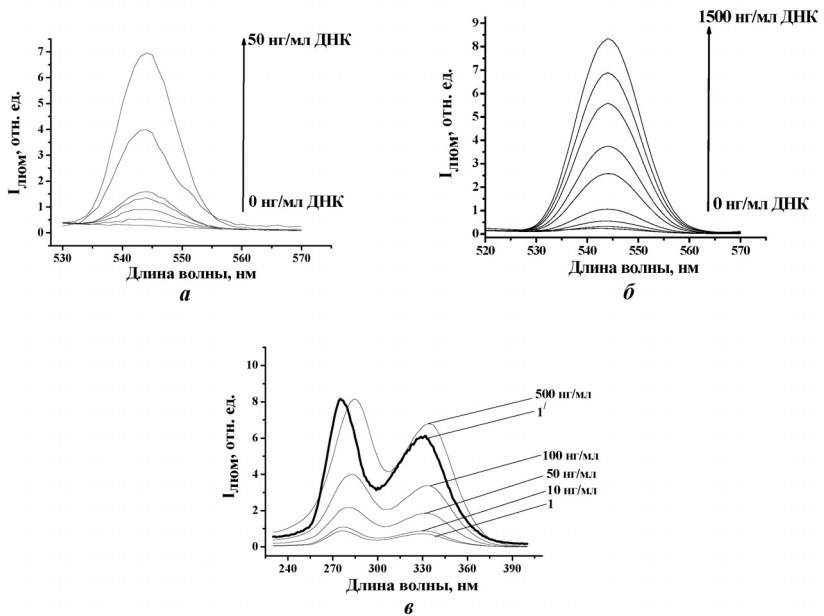


Рис. 1. Спектры люминесценции (а, б) и возбуждения (в) комплекса Tb – ЭФ в присутствии ДНК (pH 7,4), записанные при разных усилениях и щелях прибора: а –  $C_{\text{Tb}}^{3+} = C_{\text{ЭФ}} = 1 \times 10^{-7} \text{ М}$ ;  $C_{\text{ДНК}} = 1–50 \text{ нг/мл}$ ; б –  $C_{\text{Tb}}^{3+} = C_{\text{ЭФ}} = 1 \times 10^{-6} \text{ М}$ ;  $C_{\text{ДНК}} = 50–1500 \text{ нг/мл}$ ; в –  $C_{\text{Tb}}^{3+} = C_{\text{ЭФ}} = 1 \times 10^{-6} \text{ М}$ ;  $C_{\text{ДНК}} = 10–500 \text{ нг/мл}$ ; 1'-холостая проба при 10-кратном увеличении;  $\lambda_{\text{эмис}} = 545 \text{ нм}$

Установлено, что при добавлении раствора ДНК (рис. 1 а, б) к комплексу Tb – ЭФ происходит резкое увеличение интенсивности люминесценции по сравнению с I<sub>люм</sub> двойного комплекса Tb – ЭФ. В спектре возбуждения комплекса Tb – ЭФ в присутствии двусpirальной ДНК наблюдается батахромный сдвиг на 10 нм по сравнению с комплексом Tb – ЭФ (рис. 1 в), что подтверждает взаимодействие в системе Tb – ЭФ – ДНК.

Увеличение времени жизни возбужденного состояния  ${}^5\text{D}_4$  ионов Tb(III) в тройных системах является свидетельством уменьшения безызлучательной потери энергии возбуждения в тройной системе, что приводит к увеличению ин-

тенсивности люминесценции ионов Tb(III). Время жизни двойного комплекса Tb – ЭФ (52 мкс) резко увеличивается при добавлении 1500 нг/мл ДНК до 725 мкс (рис. 2).

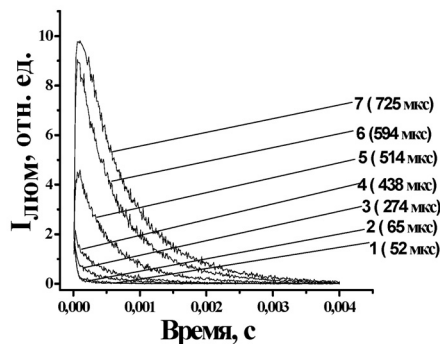


Рис. 2. Кривые затухания люминесценции комплекса Tb – ЭФ в отсутствие (1) и в присутствии ДНК (нг/мл): 2 – 10; 3 – 50; 4 – 100; 5 – 500; 6 – 1000; 7 – 1500 ( $C_{Tb^{3+}} = C_{\text{ЭФ}} = 1 \times 10^{-6}$  моль/л, pH 7.4)

Изучены спектры поглощения комплекса Tb – ЭФ в отсутствие и в присутствии ДНК. Установлено, что при добавлении раствора ДНК к комплексу Tb – ЭФ одновременно происходит гипохромный сдвиг двух полос поглощения ЭФ, а так же батохромный сдвиг на 5 нм (с 276 нм до 281 нм), что подтверждает интеркаляционный механизм взаимодействия данного зонда с молекулами ДНК (рис. 3).

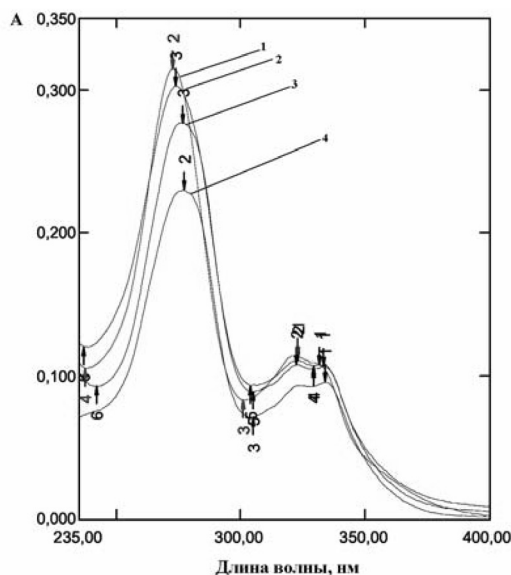


Рис. 3. Изменение спектра поглощения комплекса Tb – ЭФ в отсутствие (1) и в присутствии ДНК (2 –  $2 \times 10^{-5}$  М, 3 –  $5 \times 10^{-5}$  М, 4 –  $1 \times 10^{-4}$  М;  $C_{Tb^{3+}} = C_{\text{ЭФ}} = 1 \times 10^{-5}$  М)

Интенсивность люминесценции комплекса Tb—ЭФ—ДНК зависит от pH среды и максимальна в интервале pH 7,0–8,0. Для получения оптимального значения pH использовали 2 мл буферного раствора МOPS.

Максимальное увеличение  $I_{\text{люм}}$  Tb-ЭФ-ДНК наблюдается при равных концентрациях Tb(III) и ЭФ ( $1 \times 10^{-6}$  М и  $1 \times 10^{-7}$  М для определения ДНК в интервалах концентраций 1–50 нг/мл и 50–1500 нг/мл, соответственно).

Изучено влияние на люминесценцию Tb — ЭФ и Tb — ЭФ — ДНК органических растворителей, поверхностно-активных веществ (ПАВ), ТОФО. Установлено, что в обеих системах ПАВ разной природы и ТОФО практически не влияют на  $I_{\text{люм}}$ , а органические растворители её уменьшают на 40% (ацетон, изопропанол) и на 10–15% (метанол, этанол, диметилформамид, диметилсульфоксид). Максимальная люминесценция наблюдается в водной среде.

### Влияние посторонних веществ

Для изучения влияния посторонних веществ на интенсивность люминесценции комплекса Tb — ЭФ — ДНК использовали раствор (контрольный образец), содержащий 500 нг/мл ДНК и 1,0 мкМ комплекса Tb — ЭФ, который смешивали с различными количествами посторонних веществ.  $I_{\text{люм}}$  измеряли согласно стандартной процедуре и сравнивали с  $I_{\text{люм}}$  контрольного образца. Как видно из таблицы 1, ионы металлов, в основном присутствующие в биообъектах ( $\text{Na}^+$ ,  $\text{K}^+$ ,  $\text{Mg}^{2+}$ ,  $\text{Ca}^{2+}$ ), незначительно влияют на  $I_{\text{люм}}$ , в то время как  $\text{H}_2\text{PO}_4^-$ -ионы значительно понижают  $I_{\text{люм}}$  при концентрации  $> 10$  мкМ. Это исключает применение фосфатного буфера для изучения взаимодействия в системе Tb — ЭФ — ДНК.

Таблица 1

Влияние посторонних веществ на  $I_{\text{люм}}$  комплекса Tb — ЭФ — ДНК  
( $C_{\text{Tb}}^{3+} = C_{\text{ЭФ}} = 1 \times 10^{-6}$  М,  $C_{\text{ДНК}} = 500$  нг/мл, pH = 7,4)

Постороннее вещество	Концентрация ( $10^{-6}$ М)	Относительное изменение $I_{\text{люм}}$ системы Tb - ЭФ- ДНК (%)
NaCl	100	-4,3
KCl	100	-5,8
CaCl <sub>2</sub>	50	-4,7
NH <sub>4</sub> NO <sub>3</sub>	100	-5,6
MgCl <sub>2</sub>	100	-5,1
Al <sub>2</sub> (SO <sub>4</sub> ) <sub>3</sub>	10	+2,3
NaH <sub>2</sub> PO <sub>4</sub>	10	-9,5
HSA*	0,5	+3,1
Глюкоза	500	-4,2
Лактоза	400	+5,8
L-лизин	200	+2,2
L-аланин	200	+2,3
Додецилсульфат Na	0,1	-7,6

\*сывороточный альбумин человека, мкг/мл

## Люминесцентное определение ДНК

Из приведенных в таблице 1 данных следует, что влияние рассматриваемых посторонних веществ на интенсивность люминесценции комплекса Tb – ЭФ – ДНК незначительно, а соответствующие отклонения сопоставимы с погрешностью измерения.

### Люминесцентное определение ДНК

Интенсивность люминесценции тербия в системе Tb-ЭФ-ДНК пропорциональна концентрации ДНК в интервалах 1–50 нг/мл и 50–1500 нг/мл (рис. 4, *a* и 4, *б*). Уравнение градуировочных графиков для соответствующих концентрационных интервалов:  $(I - I_0)/I_0 = 0.041 + 0.489c$  ( $R = 0.9995$ ) и  $(I - I_0)/I_0 = -0.291 + 0.022c$  ( $R = 0.9993$ ), где  $c$  – концентрация ДНК (нг/мл). Предел обнаружения ДНК предлагаемым методом, рассчитанный с использованием  $3\sigma$ -критерия, составляет 0,5 нг/мл.

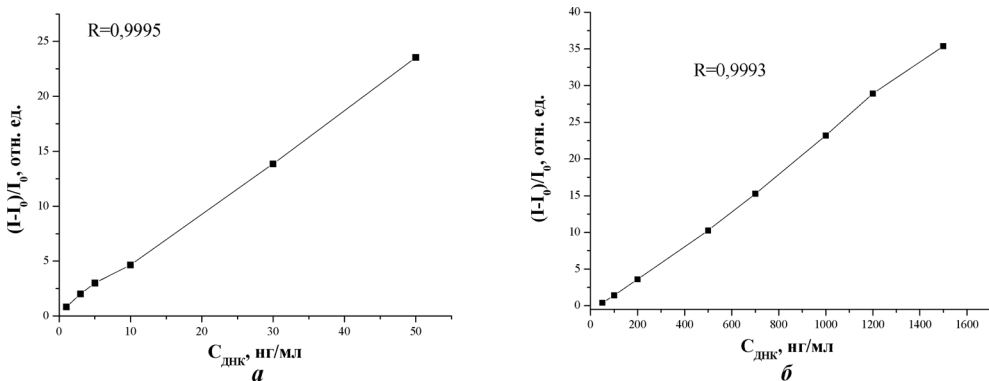


Рис. 4. Градуировочные графики для определения ДНК в концентрационных интервалах: *а* – 1–50 нг/мл; ( $C_{Tb}^{3+} = C_{ЭФ} = 1 \times 10^{-7}$  М); *б* – 50–1500 нг/мл ( $C_{Tb}^{3+} = C_{ЭФ} = 1 \times 10^{-6}$  М)

Сравнение чувствительности определения ДНК с помощью комплекса Tb-ЭФ и других известных флуоресцентных зондов представлено в таблице 2. Предложенный в данной работе зонд по пределу обнаружения превосходит в 20 раз наиболее широко используемый для люминесцентного определения ДНК этидий бромид, не являясь канцерогенным в отличие от последнего.

Таблица 2

Пределы обнаружения нуклеиновых кислот с использованием флуоресцентных проб

Флуоресцентные пробы	Нуклеиновая кислота	Предел обнаружения, нг/мл	Литература
Этидий бромид	ДНК	10	[2]
Hoechst 33258	ДНК	5,6	[3]
YOYO, TOTO	ДНК	0,5	[4, 5]
PicoGreen	ДНК	0,025	[6, 7]
OliGreen	ДНК	0,1	[6, 7]

Окончание таблицы 2

Флуоресцентные пробы	Нуклеиновая кислота	Предел обнаружения, нг/мл	Литература
Al <sup>3+</sup> -8-гидроксихинолин	ДНК / РНК	13 / 130	[8]
Y <sup>3+</sup> - БФМПГД-ЦТМАБ	ДНК / РНК	14 / 21	[9]
Tb <sup>3+</sup> -Тирон	ДНК / РНК	1 / 0,6	[10]
Eu <sup>3+</sup> – тетрациклин	ДНК	10 / 3	[11]
Tb <sup>3+</sup> -1,10- фенантролин	ДНК / РНК	100 / 200	[12]
EDTA-Eu-β-дикетон	ДНК	6,0 (пМ)	[13]
Tb- БФМПГД-ЦТМАБ	ДНК / РНК	9 / 5	[14]
Tb <sup>3+</sup> -норфлоксацин	ДНК / РНК	0,9 / 0,6	[15]
Tb <sup>3+</sup> -эноксацин	ДНК	5,0	[16]
Tb <sup>3+</sup> -дифлоксацин	ДНК	0,5	[17]
Tb <sup>3+</sup> -энрофлоксацин	ДНК	0,5	Данная работа

### Методика определения

Растворы соответствующих концентраций помещали в мерные колбы объемом 10 мл в следующем порядке:

а) для интервала концентраций ДНК 1,0–50 нг/мл: 0,1 мл рабочего раствора Tb<sup>3+</sup> (10<sup>-5</sup> М), 0,1 мл рабочего раствора энрофлоксацина (10<sup>-5</sup> М) и 2,0 мл буферного раствора (MOPS); далее к смеси добавляли различные объемы от 0,1 до 0,5 мл рабочих растворов ДНК (100 нг/мл, 1мкг/мл).

б) для интервала концентраций ДНК 50–1500 нг/мл: 1,0 мл рабочего раствора Tb<sup>3+</sup> (10<sup>-5</sup> М), 1,0 мл рабочего раствора энрофлоксацина (10<sup>-5</sup> М) и 2,0 мл буферного раствора (MOPS); далее к смеси добавляли различные объемы от 0,5 до 1,5 мл рабочих растворов ДНК (1мкг/мл, 10 мкг/мл).

После доведения водой пробы до метки, растворы выдерживали 10 мин. при комнатной температуре. Интенсивность люминесценции измеряли в 1см кварцевой кювете при  $\lambda_{\text{возб.}} = 340 \text{ нм}$  и  $\lambda_{\text{эмис.}} = 545 \text{ нм}$ .

Количественное определение ДНК в модельных образцах, содержащих смесь сывороточного альбумина человека (HSA), аминокислот и нескольких ионов металлов (табл. 3), проводили методом «введено – найдено» по градуировочным графикам, которые получали в оптимальных условиях. Измеряли интенсивность люминесценции при 545 нм, в каждой точке вычисляли  $(I - I_0)/I_0$ , где  $I_0$  – интенсивность люминесценции контрольной пробы (двойной комплекс), а  $I$  – интенсивность люминесценции комплекса в присутствии ДНК. Полученные результаты, приведенные в таблице 3, указывают на возможность люминесцентного определения ДНК в широком интервале концентраций с удовлетворительными метрологическими характеристиками.

Таким образом, разработана высокочувствительная простая методика определения ДНК, основанная на значительном увеличении интенсивности люминесценции комплекса Tb – ЭФ в присутствии двусpirальной ДНК.

Таблица 3  
Результаты определения ДНК методом «введено—найдено» ( $P = 0.95$ ,  $n = 5$ )

Посторонние вещества	Введено, нг/мл	Найдено, нг/мл	$s_r$
HSA, $\text{Na}^+$ , $\text{K}^+$ , $\text{Ca}^{2+}$ ,	10	$10,5 \pm 0,6$	0,047
Глюкоза, L-Аланин	100	$95,3 \pm 3,9$	0,033
	500	$482,6 \pm 14,4$	0,024

$C_{\text{HSA}} = 0,5 \text{ мкг/мл}$ ;  $C_{\text{Me}^{n+}} = 1 \times 10^{-5} \text{ М}$ ;  $C_{\text{Глюкоза}} = 1 \times 10^{-5} \text{ М}$ ;  $C_{\text{L-Аланин}} = 5 \times 10^{-6} \text{ М}$

Авторы выражают искреннюю благодарность проф. О. Вольфбайсу (Регенсбургский университет) за предоставленную возможность регистрации спектров люминесценции.

## Литература

- Frank J., Pompella A., Biesalski H. Histochemical visualization of oxidant stress // Free Radical Biology & Medicine. – 2000. Vol. 29. – P. 1096–1105.
- DNA bifunctional intercalators. Fluorescence properties and DNA dinding interaction of an ethidium homodimer and an acridine ethidium heterodimer / Gaugain B., Barbet J., Capelle N., Roques B., Le Pecq J., Le Bret M. // Biochem. 1978. – Vol. 17. – P. 5078–5088.
- Improved fluorometric DNA determination based on the interaction of the DNA/polication complex with Hoechst 33258 / Zhou Y., Mao S., Li Y., Chang W. // Microchim. Acta. – 2004. – Vol. 144. – P. 191–197.
- Fluorometric assay using dimeric dyes for double - and singl - sternd DNA and RNA with picogram sensitivity / Rye H. S., Jonathan M. D., Quesada M. A., Mathies R. A., Glazer A. N. // Anal. Biochem. – 1993. – Vol. 208. – P. 144–150.
- Kirschstein O., Sip M., Kittler L. Quantitative and sequence specific analysis of DNA-ligand interaction by means of fluorescent intercalator probes // J. Mol. Recognit. – 2000. – Vol. 13. – P. 157–163.
- Characterization of pico green reagent and development of a fluorescence-based solution assay for double-stranded DNA quantitation / Singer V., Jones L., Yue S., Haugland R. // Anal. Biochem. – 1997. – Vol. 249. – P. 228–238.
- Haugland R. P. (editor). Handbook of Fluorescent Probes and Research Products, 9 ed. Molecular Probes. – 2003. – P. 301.
- Huang C. Z., Li K. A., Tong S. Y. Spectrofluorimetric determination of nucleic acids with aluminium(III)/8-hydroxyquinoline complex // Anal. Lett. – 1997. – Vol. 30, № 7. – P. 1305–1309.
- Study of the reaction between nucleic acid and Y-BPMPHD – CTMAB complex and its analytical application / Wu X., Sun S., Yang J., Wang Y., Li Y., Su B. // J. Fluorescence. – 2004. – Vol. 14, № 1. – P. 113–118.
- Determination of DNA and RNA by their quenching effect on the fluorescence of the  $\text{Tb}^{3+}$  - Tiron complex / Zhao Y.-B., Wang D.-Y., Guo X.-Q., Xu J.-G. // Anal. Chim. Acta. – 1997. – Vol. 353. – P. 329–335.
- Ci Y. X., Li Y. Z., Liu X. J. Selective Determination of DNA by its enhancement effect on the fluorescence of the Eu-tetracycline complex // Anal. Chem. – 1995. – Vol. 67. – P. 1785–1788.
- Ci Y. X., Li Y. Z., Chang W. B. Fluorescence reaction of terbium (III) with nucleic acids in the presence of phenanthroline // Anal. Chim. Acta. – 1991. – Vol. 248. – P. 589–594.
- Homogeneous time – resolved fluorescence DNA hybridization assay by DNA-mediated formation of an EDTA-Eu(III)- $\beta$ -diketonate ternary complex / Wang G. L., Yuan J. L., Matsumoto K., Hu Z. D. // Anal. Biochem. – 2001. – Vol. 299. – P. 169–172.
- Study of the reaction between nucleic acids and Tb-BPMPHD-CTMAB complex and its analytical application / Wu X., Yang J., Huang F., Wang M., Sun L., Xu G. // Anal. Lett. – 1999. – Vol. 32, № 12. – P. 2417–2425.
- Tong Ch., Hu Zh., Liu W. Sensitive determination of DNA based on the interaction between norfloxacin- $\text{Tb}^{3+}$  complex and DNA // J. Agric. Food Chem. – 2005. – Vol. 53. – P. 6207–6212.

16. Tong Ch., Hu Zh., Liu W. Enoxacin–Tb<sup>3+</sup> complex as an environmentally friendly fluorescence probe for DNA and its application // Talanta. – 2007. – Vol. 71, № 2. – P. 816–821.
17. Sensitive luminescent determination of DNA using the terbium(III)–difloxacin complex / A. V. Yegorova, Y. V. Scripinets, A. Duerkop, A. A. Karasyov, V. P. Antonovich, O. S. Wolfbeis // Anal. Chim. Acta. – 2007. – Vol. 584. – P. 260–267.

**Ю. В. Скрипинець, Д. І. Александрова, А. В. Егорова**

Фізико-хімічний інститут ім. О. В. Богатського НАН України,  
вул. Люстдорфська дорога, 86, Одеса, 65080, Україна

**ЛЮМІНЕСЦЕНТНЕ ВИЗНАЧЕННЯ ДНК ІЗ ЗАСТОСУВАННЯМ У ЯКОСТІ ЗОНДУ  
КОМПЛЕКСНОЇ СПОЛУКИ ТЕРБІЮ З ЕНРОФЛОКСАЦІНОМ**

**Резюме**

Встановлено посилення інтенсивності 4f–люмінесценції тербію (ІІІ) у його комплексі з енрофлоксацином у присутності двоспіральної ДНК. В оптимальних умовах інтенсивність люмінесценції тербію пропорційна концентрації ДНК в інтервалі 1,0–1500 нг/мл (межа виявлення 0,5 нг/мл).

**Ключові слова:** люмінесценція, тербій, енрофлоксацин, ДНК.

**Y. V. Scripinets, D. I. Aleksandrova, A. V. Yegorova**

A. V. Bogatsky Physico-Chemical Institute  
of the National Academy of Sciences of Ukraine,  
Lustdorfskaya doroga, 86, 65080, Odessa, Ukraine

**LUMINESCENT DETERMINATION OF DNA USING TERBIUM COMPLEX  
WITH ENROFLOXACIN AS A PROBE**

**Summary**

It was found that the presence of DNA enhanced the 4f luminescence of terbium(III) in its complex with enrofloxacin. Under optimum conditions, the luminescence intensity of terbium was proportional to the concentration of DNA over the range 1,0–1500 ng/mL (the limit of detection is 0,5 ng/mL).

**Keywords:** luminescence, terbium, enrofloxacin, DNA.